

1.6 QM - Bahndrehimpuls und normaler Zeeman-Effekt

1.6.1 Bahndrehimpuls - Operator

klassisch: $\vec{L} = \vec{r} \times \vec{p} = \begin{pmatrix} y p_z - z p_y \\ z p_x - x p_z \\ x p_y - y p_x \end{pmatrix}$

def. Vektor op.:

$$\hat{\vec{L}} = \hat{\vec{r}} \times \hat{\vec{p}} = \begin{pmatrix} \hat{L}_x \\ \hat{L}_y \\ \hat{L}_z \end{pmatrix} = \begin{pmatrix} \hat{y} \hat{p}_z - \hat{z} \hat{p}_y \\ \hat{z} \hat{p}_x - \hat{x} \hat{p}_z \\ \hat{x} \hat{p}_y - \hat{y} \hat{p}_x \end{pmatrix}$$

Ortsdarstellung

$$\longrightarrow \frac{\hbar}{i} \begin{pmatrix} y \frac{\partial}{\partial z} - z \frac{\partial}{\partial y} \\ z \frac{\partial}{\partial x} - x \frac{\partial}{\partial z} \\ x \frac{\partial}{\partial y} - y \frac{\partial}{\partial x} \end{pmatrix} \quad \begin{array}{l} \text{in kart.} \\ \text{Koord.} \end{array} \begin{pmatrix} x \\ y \\ z \end{pmatrix}$$

$$= \frac{\hbar}{i} \begin{pmatrix} -\sin \varphi \frac{\partial}{\partial \vartheta} - \frac{\cos \varphi \cos \varphi}{\sin \varphi} \frac{\partial}{\partial \varphi} \\ \cos \varphi \frac{\partial}{\partial \vartheta} - \frac{\cos \varphi \sin \varphi}{\sin \varphi} \frac{\partial}{\partial \varphi} \\ \frac{\partial}{\partial \varphi} \end{pmatrix} \quad (*)$$

in Kugelkoord.

Quadrat des Drehimpulsoperators:

$$\hat{L}^2 = \hat{L}_x^2 + \hat{L}_y^2 + \hat{L}_z^2$$

Ortsdarst. \longrightarrow Kugelkoordin.

$$-\hbar^2 \left(\frac{1}{\sin\vartheta} \frac{\partial}{\partial\vartheta} \left(\sin\vartheta \frac{\partial}{\partial\vartheta} \right) + \frac{1}{\sin^2\vartheta} \frac{\partial^2}{\partial\varphi^2} \right)$$

dies ist gerade der Winkelanteil des Laplace-Op. Δ

und den haben wir schon gelöst:

Ortsdarstellung: $\hat{L}^2 Y_{l,m_l}(\vartheta, \phi) = \hbar^2 l(l+1) Y_{l,m_l}(\vartheta, \phi)$

darstellungsfrei: $\hat{L}^2 |l, m_l\rangle = \hbar^2 l(l+1) |l, m_l\rangle$

Weiterhin (durch Anwenden von (A)):

- $\hat{L}_z Y_{l,m_l} = \hbar m_l Y_{l,m_l}$

$$\hat{L}_z |l, m_l\rangle = \hbar m_l |l, m_l\rangle$$

- Die Kugelflächenfkt. sind KEINE Eigenfunktionen von \hat{L}_x und \hat{L}_y .

BSP: Wasserstoff:

$$[\hat{H}, \hat{L}^2] = [\hat{H}, \hat{L}_z] = [\hat{L}^2, \hat{L}_z] = 0$$

Die Observablen (1) Energie E_n

(2) Drehimpulsquadrat $\hbar^2 l(l+1)$

(3) z-Projektion des Drehimpuls, $\hbar m_l$

sind gleichzeitig scharf meßbar

$\Leftrightarrow |n, l, m_l\rangle$ ist Eigenzustand dieser 3 Operatoren

\Leftrightarrow Messungen dieser Observablen, egal in welcher Reihenfolge, ändern den Zustand nicht

Aber (allg.):

$$[\hat{L}_x, \hat{L}_y] = i\hbar \hat{L}_z, \quad [\hat{L}_y, \hat{L}_z] = i\hbar \hat{L}_x$$

$$[\hat{L}_z, \hat{L}_x] = i\hbar \hat{L}_y \quad \Rightarrow \quad \vec{\hat{L}} \times \vec{\hat{L}} = i\hbar \vec{\hat{L}}$$

Die 3 Komponenten des Bahndrehimpuls

können nicht gleichzeitig scharf gemessen werden!

\Leftrightarrow Die Messung einer Komponente verändert die anderen

• WICHTIG: Nichts ist speziell an der z-Achse!!

Alle L-Orbitale ($m = -l, \dots, l$) sind
sphärisch symmetrisch!

1.6.2 Normaler Zeeman - Effekt

Wasserstoff - Atom in homogenem magn. Feld



Was passiert mit den Zuständen $|n, l, m_l\rangle$ und Energien E_n ?

Semiklassisches Modell

1) Bohr: Elektron auf Kreisbahn

2) Biot - Savart: Kreisstrom

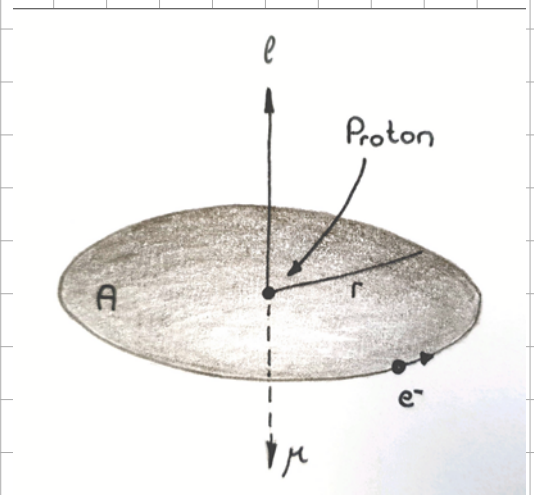
erzeugt magnetisches Moment

$$\vec{\mu} = I \cdot A \vec{n}$$

I : Strom

A : Kreisfläche

\vec{n} : Flächenmerkmale



Beides zusammen:

$$I = -e v$$

v : Umlauffrequenz

$$A = \pi r^2$$

r : Bohrradius

$$\vec{\mu} = -e v \pi r^2 \vec{n}$$

Vergleiche mit Drehimpuls

$$\vec{L} = m v r \vec{n} = 2\pi m v r^2 \vec{n}$$

$$\Rightarrow \vec{\mu} = -\frac{e}{2m} \vec{L}$$

$$\mu = \frac{|\vec{\mu}|}{|\vec{L}|} = \frac{e}{2m} \quad \text{"gyromagnetische Verhltnis"}$$

Pot. Energie in externem Feld

$$\begin{aligned} E_M &= -\vec{\mu} \cdot \vec{B} = -|\vec{\mu}| \cdot |\vec{B}| \cdot \cos \vartheta \\ &= \frac{e}{2m} |\vec{L}| \cdot |\vec{B}| \cdot \cos \vartheta \\ &= \frac{e}{2m} L_z \cdot B \end{aligned}$$

QM: $L_z = \hbar m_l$ Eigenwert der Observable \hat{L}_z
fr Zustand $|n, l, m_l\rangle$

\Rightarrow Vermutung:

Gesamt-Hamiltonian:

$$\hat{H} = \hat{H}_0 + \hat{H}_M = \frac{\vec{p}^2}{2m} + V(\vec{r}) + \frac{e}{2m} B \hat{L}_z$$

Schrödinger - QM Modell

- kinde klass. Hamilton - Funktion H
- $H \rightarrow \hat{H}$ (durch $\vec{r} \rightarrow \hat{\vec{r}}, \vec{p} \rightarrow \hat{\vec{p}}$)

Elektron im B-Feld: Lorentz - Kraft

$$\vec{F} = -e \vec{v} \times \vec{B} = -e \left[\frac{d\vec{A}}{dt} - \nabla(\vec{v} \cdot \vec{A}) \right] \quad \begin{array}{l} \text{Vektorpotential } \vec{A} \\ \vec{B} = \nabla \times \vec{A} \end{array}$$

\Rightarrow klass. Hamilton - Mechanik

$$H = \frac{1}{2m} (\vec{p} + e\vec{A})^2$$

$$QM: H \rightarrow \hat{H}$$

$$\hat{H}|\psi\rangle = \frac{1}{2m} \left(\hat{\vec{p}} + e\vec{A} \right)^2 |\psi\rangle$$

Ortsdarstellung \rightarrow

$$= \left[-\frac{\hbar^2}{2m} \Delta + \frac{\hbar e}{2mi} \underbrace{(\vec{\nabla} \cdot \vec{A} + \vec{A} \cdot \vec{\nabla})} + \frac{e^2}{2m} \vec{A}^2 \right] \psi$$

$$\begin{aligned} & \rightarrow (\vec{\nabla} \cdot \vec{A} + \vec{A} \cdot \vec{\nabla}) \psi \\ &= \vec{\nabla}(\vec{A} \cdot \psi) + \vec{A} \cdot (\vec{\nabla} \psi) \\ &= (\vec{\nabla} \cdot \vec{A}) \cdot \psi + \vec{A} \cdot (\vec{\nabla} \psi) + \vec{A} \cdot (\vec{\nabla} \psi) \\ & \quad \text{Coulomb - Eichung } \vec{\nabla} \cdot \vec{A} = 0 \\ &= 2 \vec{A} \cdot (\vec{\nabla} \psi) \end{aligned}$$

$$= \left[-\frac{\hbar^2}{2m} \Delta + \frac{\hbar e}{2mi} \vec{A} \cdot \vec{\nabla} + \frac{e^2}{2m} \vec{A}^2 \right] \psi$$

$$\left[\begin{array}{l} \text{Für } \vec{B} = B \vec{e}_z = \begin{pmatrix} 0 \\ 0 \\ B \end{pmatrix} \\ \vec{A} = -\frac{1}{2} (\vec{r} \times \vec{B}) = -\frac{1}{2} \begin{pmatrix} yB \\ -xB \\ 0 \end{pmatrix} \end{array} \right]$$

$$= \left[-\frac{\hbar^2}{2m} \Delta - \frac{\hbar e}{2mi} \begin{pmatrix} yB \\ -xB \\ 0 \end{pmatrix} \cdot \vec{\nabla} + \frac{e^2}{8m} \begin{pmatrix} yB \\ -xB \\ 0 \end{pmatrix}^2 \right] \psi$$

$$= \left[-\frac{\hbar^2}{2m} \Delta + \frac{e \cdot B}{2m} \frac{\hbar}{i} \underbrace{\left(x \frac{\partial}{\partial y} - y \frac{\partial}{\partial x} \right)}_{\sim L_z} + \frac{e^2 B^2}{8m} (x^2 + y^2) \right] \psi$$

darstellungstri

$$\hat{H} = \frac{\vec{p}^2}{2m} + \underbrace{\frac{e}{2m} B \cdot \hat{L}_z}_{(*)} + \underbrace{\frac{e^2 B^2}{8m} (x^2 + y^2)}_{(**)}$$

(*) Linearer Zeeman-Effekt (wie semiklass. Modell)

(**) diamagnetischer Term $\sim B^2$ (neu)

Größenabschätzung: $B \sim 1 \text{ T}$, $L_z \sim \hbar$, $x=y \sim 10^{-9} \text{ m}$

$$(*) \sim 10^3 \quad (**) \sim 10^3$$

für $B \ll 1 \text{ T}$ wird (**) üblicherweise

ignoriert

$$\Rightarrow \hat{H}_M = \frac{e \cdot B}{2m} \hat{L}_z$$

$$\mu_B = \frac{e\hbar}{2m} \approx 9,27 \cdot 10^{-24} \frac{\text{J}}{\text{T}} \quad \text{Bohr-Magneton}$$

Wasserstoff-Atom in homogenem B-Feld:

$$\hat{H}_{\text{tot}} = \frac{\hat{\vec{p}}^2}{2m} + V(\hat{\vec{r}}) + \frac{\mu_B B}{\hbar} \hat{L}_z$$

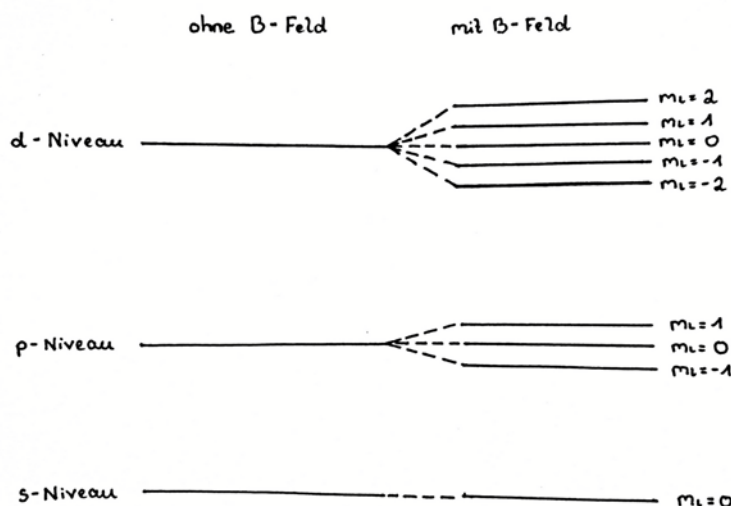
Lösung kennen wir schon!

$$\hat{H}_{\text{tot}} |n, l, m_l\rangle = \left[-\frac{E_{\text{Ryd}}}{n^2} + \mu_B m_l B \right] |n, l, m_l\rangle$$

Die Zustände $|n, l, m_l\rangle$ sind weiterhin Eigenzustände, aber die Entartung der Energien E_n ist aufgehoben.

Insbesondere hängt $E_{\text{mag}} = \mu_B m_l B$

von der Magnetquantenzahl m_l ab.



Vergleiche Energie/Frequenz Strahlen

$$\cdot \frac{\Delta E_n}{h} = \frac{E_2 - E_1}{h} \approx 2,5 \cdot 10^{15} \text{ Hz}$$

optisch

$$\cdot \frac{\Delta E_{m_l}}{h} = \frac{E_{m_l=1} - E_{m_l=0}}{h} = \underbrace{\mu_B}_h \cdot B$$

Radio-Frequenz

$$\approx 1,44 \text{ MHz/Gauss}$$

$$= 14,4 \text{ GHz/T}$$